

论著 · 基础研究 doi:10.3969/j.issn.1671-8348.2019.04.004

# 丹参酮 II A 通过抑制 STAT3 活化调控胃癌细胞增殖和凋亡的研究\*

张拥军<sup>1</sup>,彭伯坚<sup>1</sup>,曹天生<sup>2</sup>,卢秀珊<sup>1</sup>,郭曙光<sup>3△</sup>

(1. 广东省广州市花都区人民医院消化内科 510800;2. 广东省广州市花都区人民医院普外科 510800;3. 中山大学附属第三医院体检科,广州 510630)

**[摘要]** 目的 研究丹参酮 II A (Tan II A)对胃癌细胞增殖的抑制作用,并探讨其分子机制。方法 应用四甲基偶氮唑蓝(MTT)法检测不同浓度的 Tan II A(2.5、5、10 μg/mL)对3种胃癌细胞株(SNU-638、MKN1 和 AGS)增殖的影响;流式细胞仪检测细胞凋亡情况;Western blot 检测凋亡相关蛋白(Bax、cleaved caspase-3、Bcl)以及信号转导和转录激活因子 3(STAT3)、p-STAT3 蛋白表达变化;荧光素酶报告基因检测 STAT3 转录活性变化。结果 与对照组比较,Tan II A 能明显抑制胃癌细胞的增殖,促进细胞凋亡,增加凋亡相关蛋白 Bax 和 cleaved caspase-3 的表达,降低 Bcl 的表达;Tan II A 明显抑制 STAT3 磷酸化,过表达 STAT3 可下调 Tan II A 的促凋亡作用及对 STAT3 转录活化的抑制作用。结论 Tan II A 可能通过抑制 STAT3 转录活化调控胃癌细胞的增殖和凋亡。

**[关键词]** 胃肿瘤;丹参酮 II A;信号转导和转录激活子 3;凋亡

**[中图法分类号]** R735.2

**[文献标识码]** A

**[文章编号]** 1671-8348(2019)04-0559-05

## Study on tanshinone II A regulates proliferation and apoptosis of gastric cancer cells via inhibition of STAT3 activation\*

ZHANG Yongjun<sup>1</sup>, PENG Bojian<sup>1</sup>, CAO Tiansheng<sup>2</sup>, LU Xiushan<sup>1</sup>, GUO Shuguang<sup>3△</sup>

(1. Department of Gastroenterology; 2. Department of General Surgery, Huadu District People's Hospital, Southern Medical University, Guangzhou, Guangdong 510800, China; 3. Physical Examination Center, The Third Affiliated Hospital, Sun Yat-sen University, Guangzhou, Guangdong 510006, China)

**[Abstract]** **Objective** To investigate the effect and molecular mechanism of tanshinone II A (Tan II A) on proliferation and apoptosis of gastric cancer cells. **Methods** The MTT assay was performed to determine the effect of Tan II A (2.5, 5, 10 μg/mL) on cell proliferation in SNU-638, MKN1 and AGS gastric cancer cells. The flow cytometry was applied to detect the cellular apoptosis; the expression changes of apoptosis related proteins (Bax, cleaved caspase-3, Bcl) and STAT3, p-STAT3 protein were detected by Western blot. The luciferase reporter assay was used to determine the change of STAT3 transcriptional activity. **Results** Compared with the control group, Tan II A could significantly inhibit the cell proliferation in gastric cancer cells, promoted the cellular apoptosis, increased apoptosis related protein Bax and cleaved caspase-3 protein expression, and reduced the Bcl expression; Tan II A significantly inhibited STAT3 phosphorylation, over expressed STAT3 could down-regulate the Tan II A apoptosis-promoting effect and inhibited the STAT3 transcription activation. **Conclusion** Tan II A regulates the proliferation of gastric cancer cells through inhibiting STAT3 transcription activation.

**[Key words]** gastric neoplasms; tanshinone II A; STAT3; apoptosis

胃癌是世界上发病率和病死率最高的恶性肿瘤之一<sup>[1-2]</sup>。据不完全统计,每年新发病例约有 100 万例<sup>[3-4]</sup>。尽管目前胃癌治疗取得了一定的进展,但晚期胃癌患者的总体疗效不太理想,5 年生存率仅为 5%~20%<sup>[5-6]</sup>。近年来,众多的研究表明传统中草药具有显著的抗肿瘤活性<sup>[7-9]</sup>。丹参酮 II A(Tan II A)是

天然植物丹参的主要活性成分,前期的研究已发现它具有多种药理活性,比如缓解心绞痛,有效改善血流动力学等<sup>[10-12]</sup>。近年来,丹参酮 II A 在乳腺癌、膀胱癌、结直肠癌和前列腺癌中的抗肿瘤活性也广受研究者青睐<sup>[13-14]</sup>。虽然有研究表明 Tan II A 能抑制胃癌细胞生长,但其潜在的分子机制尚不清楚<sup>[15-16]</sup>。

\* 基金项目:广州市花都区科技工业和信息化局——医疗卫生一般科研专项项目(17-HDWS-021)。作者简介:张拥军(1977—),副主任医师,硕士,主要从事消化系统肿瘤的研究。△ 通信作者,E-mail:3529982274@qq.com。

信号转导和转录激活因子3(STAT3)是信号转导因子STAT家族的成员之一<sup>[17]</sup>。它广泛参与调节了一系列生物过程,如细胞增殖、肿瘤发生、血管生成和表皮细胞向间充质细胞转化等<sup>[18]</sup>。磷酸化STAT3分子上的2个磷酸化位点酪氨酸705(Tyr705)和丝氨酸727(Ser727)对于STAT3组成性激活以及肿瘤的发生、发展发挥着关键作用<sup>[19-21]</sup>。有研究表明STAT3的构成性激活可以促进胃癌的进一步恶化和发展<sup>[22-23]</sup>。因此,以STAT3为靶点,发掘新的能抑制STAT3组成性激活的化合物对于治疗人类胃癌具有重要的临床意义。本研究中采用人胃癌细胞株,并给予TanⅡA处理,探讨TanⅡA对胃癌细胞增殖的影响,并明确其作用机制是否与抑制STAT3活化有关。

## 1 材料与方法

**1.1 细胞培养及试剂** 人胃癌细胞株(SNU-638、MKN1和AGS)购自国家细胞资源中心(中国科学院,上海)。SNU-638和MKN1细胞培养于含有10%胎牛血清的RPMI 1640培养基中,AGS细胞培养于含有10%胎牛血清的DMEM培养基中,并置于含5%CO<sub>2</sub>的恒温培养箱。TanⅡA购自Sigma-Aldrich公司。cleaved caspase-3、Bcl和Bax抗体购自Santa Cruz Biotechnology公司,p-STAT3和STAT3抗体购自Cell Signaling Technology公司。FLAG-STAT3和phRL-TK质粒购自生工公司。

**1.2 四甲基偶氮唑蓝(MTT)法检测细胞增殖** 将细胞以 $1 \times 10^4$ 个细胞/孔接种于96孔培养板中过夜。随后给予不同浓度的TanⅡA处理不同时间后,每孔加入20 μL MTT染料继续孵育2 h。小心移除培养基并加入溶解/终止溶液。使用酶标仪在570 nm处检测各孔吸光度并计算细胞存活率。

**1.3 细胞凋亡检测** 当不同浓度的TanⅡA处理细胞后,收集细胞至离心管中,离心弃培养液,用PBS洗涤。随后使用Annexin V和PI双染色,应用流式细胞仪分析结果。根据比例计算不同药物浓度对细胞凋亡的影响。

**1.4 Western blot** 当用不同浓度的TanⅡA处理

细胞后,加入裂解缓冲液裂解细胞并收集、提取总蛋白进行定量。随后采用SDS-PAGE分离,PVDF膜电转,脱脂牛奶(5%)封闭1 h,分别加入一抗孵育4 ℃过夜。次日加入TBST缓冲液洗膜3次后加入辣根过氧化酶标记二抗,室温摇床孵育1 h后用TBST缓冲液洗膜3次。最后采用ECL法显影,并进行定量分析。

**1.5 细胞转染和STAT3转录活性** 根据Lipofectamine 2000使用说明书,将FLAG-STAT3质粒和对照质粒phRL-TK分别瞬时转染细胞后,并给予指定浓度的TanⅡA处理。随后用双荧光素酶报告基因测定系统测定STAT3的转录活性。

**1.6 统计学处理** 用SPSS 20.0统计分析软件进行统计分析,计量资料以 $\bar{x} \pm s$ 表示,采用t检验,多个样本间比较采用单因素方差分析Bonferroni post-hoc Test进行统计学处理,以P<0.05为差异具有统计学意义。

## 2 结 果

**2.1 TanⅡA抑制人胃癌细胞增殖** MTT实验结果显示TanⅡA能以时间和剂量依赖的方式有效抑制SNU-638细胞增殖(图1A和1B)。10 μg/mL TanⅡA表现出最强抗肿瘤活性,因此被用于后续研究。与此同时,当给予不同浓度TanⅡA处理人胃癌MKN1和AGS细胞之后,TanⅡA也能明显抑制细胞增殖(图1C和1D),但以SNU-638细胞活性最佳,因此SNU-638细胞被选择用于进一步研究。

**2.2 TanⅡA诱导人胃癌细胞凋亡** 当Annexin-V/PI双染色标记TanⅡA处理SNU-638细胞后,使用流式细胞仪检测TanⅡA对胃癌细胞凋亡的影响。图2A,2B显示,TanⅡA处理之后能明显增加凋亡细胞比例,百分比由7.77%±2.24%(对照组)增加到TanⅡA处理组13.80%±4.06%(2.5 μg/mL),22.70%±4.25%(5 μg/mL)和32.87%±6.80%(10 μg/mL)。图2C显示TanⅡA处理之后能诱导Bax和cleaved caspase-3的蛋白表达,并抑制Bcl蛋白水平。

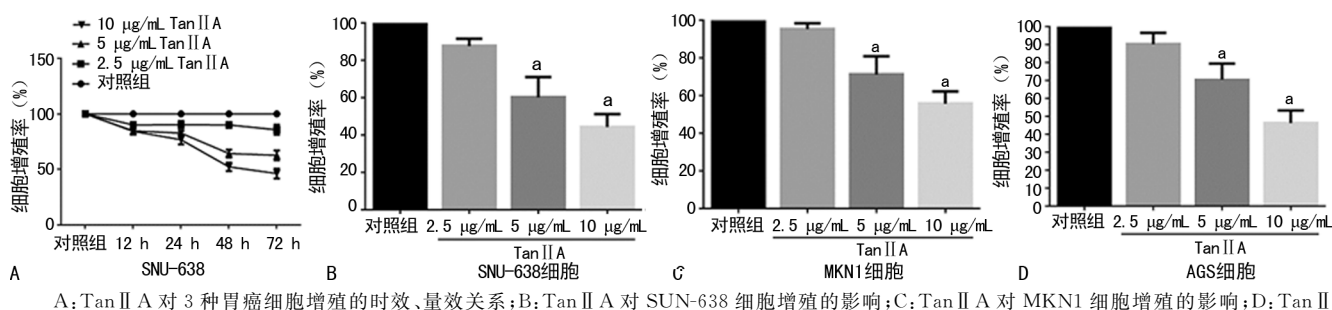


图1 TanⅡA对人胃癌细胞增殖的影响

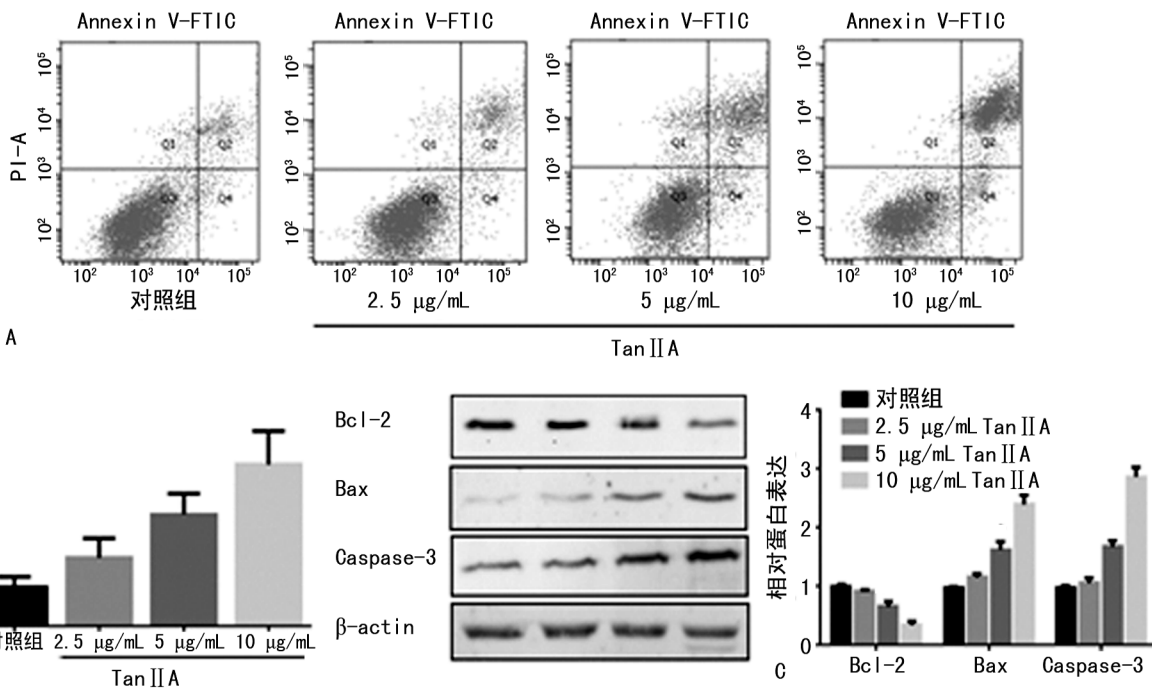


图 2 Tan II A 对胃癌细胞凋亡的影响

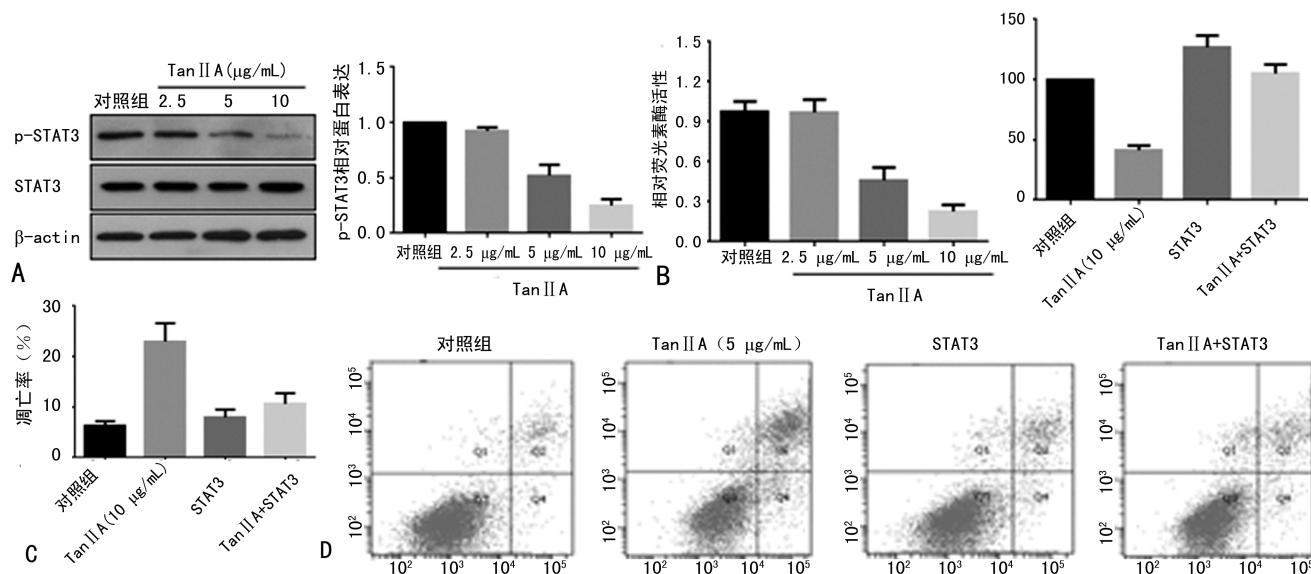


图 3 Tan II A 对 STAT3 信号通路的影响

**2.3 STAT3 在 Tan II A 抑制人胃癌细胞增殖中的作用** 如图 3A 所示, Tan II A (5, 10 μg/mL) 处理 SNU-638 细胞能有效抑制 STAT3 中 Tyr705 位点的磷酸化水平(约 54% 和 77%)。为了进一步证实 STAT3 信号通路是否参与了 Tan II A 抗胃癌细胞增殖过程, 本研究采用了 SNU-638 细胞与 p-STAT-LUC 质粒共转染。双荧光素报告实验显示 Tan II A (5, 10 μg/mL) 处理后能有效降低 STAT3 的活性(图 3B)。STAT3 过表达后能显著减少 Tan II A 抑制细胞增殖和诱导凋亡的比例(图 3C 和 D)。

### 3 讨 论

本研究发现了中药丹参分离得到的生物活性组分 Tan II A 能有效抑制人胃癌细胞增殖并诱导细胞凋亡, 具体机制是由于 Tan II A 作用于 STAT3 的磷酸化 Tyr705 位点从而抑制 STAT3 磷酸化水平, STAT3 质粒共转染实验进一步证实了推断。本研究结果表明 Tan II A 能有效抑制 STAT3 活化过程, 从而发挥抗胃癌作用。

胃癌是常见恶性肿瘤, 其病死率居全球第三<sup>[24]</sup>。近年来尽管在胃癌的诊断和治疗方面取得了较大进

展,但胃癌患者的总体预后仍然较差<sup>[25-26]</sup>。目前的治疗方式能够在一定程度上控制病情,延长患者生存期,但严重的毒副作用不仅会影响复发患者的生活质量,甚至还会危及患者的生命<sup>[27]</sup>。因此,研发用于胃癌治疗的新药物具有重要的临床意义。

Tan II A 是从丹参根茎提取的活性成分,大量证据表明 Tan II A 对多种癌细胞的生长具有抑制作用<sup>[28]</sup>。本研究发现 Tan II A 处理之后可明显诱导细胞凋亡,增加 Bax 和 cleaved caspase-3 的蛋白表达并下调 Bcl 蛋白水平。前期研究报道 STAT3 信号通路的组成性活化被认为是癌症发生、发展和进展的重要因素<sup>[20,29]</sup>。本研究发现 Tan II A 处理后可明显抑制体内 STAT3 磷酸化过程,而且表现出剂量依赖性。当细胞中过表达 STAT3 时,Tan II A 对细胞增殖的抑制比例以及诱导 SNU-638 细胞凋亡显著减少。本研究阐明了 STAT3 在 Tan II A 调控胃癌细胞增殖和凋亡过程中的作用。但是,Tan II A 在体内是否发挥抗胃癌活性,Tan II A 如何影响体内胃癌肿瘤组织中凋亡相关蛋白表达,以及 STAT3 如何参与调控值得进一步探讨。不仅如此,Tan II A 通过其他机制起作用的可能性不能排除,值得深入研究。而本研究仍存在一些局限,比如应该同时纳入正常的胃细胞进行比较分析,从而进一步阐述 Tan II A 的作用是癌症特异性的。综上所述,本研究认为 Tan II A 可能通过下调 STAT3 活化水平从而发挥抗胃癌活性。

## 参考文献

- [1] LAZĂR D C, TĂBAN S, CORNIANU M, et al. New advances in targeted gastric cancer treatment[J]. World J Gastroenterol, 2016, 22(30): 6776-6799.
- [2] ILSON D H. Advances in the treatment of gastric cancer [J]. Curr Opin Gastroenterol, 2017, 33(6): 473-476.
- [3] APICELLA M C, GIORDANO S. Targeted therapies for gastric cancer: failures and hopes from clinical trials[J]. Oncotarget, 2017, 8(34): 57654-57669.
- [4] MOLINA-CASTRO, S, EREIRA-MARQUES J, FIGUEIREDO C, et al. Gastric cancer: Basic aspects[J]. Helicobacter, 2017, 22 Suppl 1: S26-29.
- [5] FERLAY J, SOERJOMATARAM I, DIKSHIT R, et al. Cancer incidence and mortality worldwide: sources, methods and major patterns in GLOBOCAN 2012[J]. Int J Cancer, 2015, 136(5): 359-386.
- [6] SIEGEL R L, JEMAL A. Cancer statistics, 2017[J]. CA Cancer J Clin, 2017, 67(1): 7-30.
- [7] WANG L I, WU J Z, LU J W, et al. Regulation of the cell cycle and PI3K/Akt/mTOR signaling pathway by tanshinone I in human breast cancer cell lines[J]. Mol Med Rep, 2015, 11(2): 931-939.
- [8] GUTHEIL W G, REED G, RAY A, et al. Crocetin: an agent derived from saffron for prevention and therapy for cancer[J]. Curr Pharm Biotechnol, 2012, 13(1): 173-179.
- [9] GAO H, LAMUSTA J, ZHANG W F, et al. Tumor cell selective cytotoxicity and apoptosis induction by an herbal preparation from brucea javanica[J]. N Am J Med Sci (Boston), 2011, 4(2): 62-66.
- [10] WEI B, YOU M G, LING J J, et al. Regulation of antioxidant system, lipids and fatty acid β-oxidation contributes to the cardioprotective effect of Sodium tanshinone II A sulphophenylate in isoproterenol-induced myocardial infarction in rats [J]. Atherosclerosis, 2013, 230(1): 148-156.
- [11] ZHOU L Z, CHOW M S. Danshen: an overview of its chemistry, pharmacology, pharmacokinetics, and clinical use[J]. J Clin Pharmacol, 2005, 45(12): 1345-1359.
- [12] FANG J, LITTLE P J, XU S. Atheroprotective effects and molecular targets of tanshinones derived from herbal medicine danshen[J]. Med Res Rev, 2017, 38(1): 201-228.
- [13] LI G B, SHAN C Y, LIU L, et al. Tanshinone II A inhibits HIF-1α and VEGF expression in breast cancer cells via mTOR/p70S6K/RPS6/4E-BP1 signaling pathway [J]. PLoS One, 2015, 10(2): e0117440.
- [14] ZHANG Y, JIANG P X, YE M, et al. Tanshinones: sources, pharmacokinetics and anti-cancer activities[J]. Int J Mol Sci, 2012, 13(10): 13621-13666.
- [15] SU C C. Tanshinone II A inhibits human gastric carcinoma AGS cell growth by decreasing BiP, TCTP, Mcl-1 and Bcl-xL and increasing Bax and CHOP protein expression [J]. Int J Mol Med, 2014, 34(6): 1661-1668.
- [16] YU J, WANG X X, LI Y H, et al. Tanshinone II A suppresses gastric cancer cell proliferation and migration by downregulation of FOXM1[J]. Oncol Rep, 2017, 37(3): 1394-1400.
- [17] YU H K, PARDOLL D. Crosstalk between cancer and immune cells: role of STAT3 in the tumour microenvironment[J]. Nat Rev Immunol, 2007, 7(1): 41-51.
- [18] GRIVENNIKOV S I, KARIN M. Dangerous liaisons: STAT3 and NF-κappaB collaboration and crosstalk in cancer[J]. Cytokine Growth Factor Rev, 2010, 21(1): 11-19.
- [19] PARK E, PARK J, HAN S W, et al. NVP-BKM120, a novel PI3K inhibitor, shows synergism with a STAT3 inhibitor in human gastric cancer cells harboring KRAS mutations[J]. Int J Oncol, 2012, 40(4): 1259-1266.
- [20] GUO C, SU J, LI Z J, et al. The G-protein-coupled bile acid receptor Gpbar1 (TGR5) suppresses gastric cancer cell proliferation and migration through antagonizing STAT3 signaling pathway[J]. Oncotarget, 2015, 6(33):

- 34402-34413.
- [21] YANG J B, CHATTERJEE-KISHORE M, STAUGAITIS S M, et al. Novel roles of unphosphorylated STAT 3 in oncogenesis and transcriptional regulation[J]. *Cancer Res*, 2005, 65(3):939-947.
- [22] CHEN J, WANG J Q, LIN L, et al. Inhibition of STAT3 signaling pathway by nitidine chloride suppressed the angiogenesis and growth of human gastric cancer[J]. *Mol Cancer Ther*, 2012, 11(2):277-287.
- [23] XIONG H, DU W, WANG J L, et al. Constitutive activation of STAT3 is predictive of poor prognosis in human gastric cancer[J]. *J Mol Med (Berl)*, 2012, 90(9):1037-1046.
- [24] MASTORAKI A, BENETOU C, MASTORAKI S, et al. The role of surgery in the therapeutic approach of gastric cancer liver metastases[J]. *Indian J Gastroenterol*, 2016, 35(5):331-336.
- [25] JIANG X M, WANG W F, YANG Y M, et al. Identification of circulating microRNA signatures as potential non-invasive biomarkers for prediction and prognosis of lymph node metastasis in gastric cancer[J]. *Oncotarget*, 2017, 8(39):65132-65142.
- [26] KAGAWA S, SHIGEYASU K, ISHIDA M, et al. Molecular diagnosis and therapy for occult peritoneal metastasis in gastric cancer patients [J]. *World J Gastroenterol*, 2014, 20(47):17796-17803.
- [27] MOHELNKOVA-DUCHONOVA B M, SOUCEK P. FOLFOX/FOLFIRI pharmacogenetics: the call for a personalized approach in colorectal cancer therapy[J]. *World J Gastroenterol*, 2014, 20(30):10316-10330.
- [28] WANG X L, LEE K H. New developments in the chemistry and biology of the bioactive constituents of Tanshen [J]. *Med Res Rev*, 2007, 27(1):133-148.
- [29] MORA L B, BUETTNER R, SEIGNE J, et al. Constitutive activation of Stat3 in human prostate tumors and cell lines: direct inhibition of Stat3 signaling induces apoptosis of prostate cancer cells[J]. *Cancer Res*, 2002, 62(22):6659-6666.

(收稿日期:2018-08-22 修回日期:2018-11-01)

(上接第 558 页)

为进一步研究开发打下基础。

## 参考文献

- [1] 张丽霞,管志斌. 西双版纳药用榕树资源[J]. 亚热带植物科学,2004,33(2):60-62.
- [2] HUVAERE K, SKIBSTED L H. Flavonoids protecting food and beverages against light[J]. *J Sci Food Agric*, 2015, 95(1):20-35.
- [3] 吴京平. 天然植物性抗氧化剂在食品工业中的应用[J]. 北京联合大学学报(自然科学版),2007,21(2):63-66.
- [4] 王忠雷,杨丽燕,张小华,等. 中药黄酮类抗氧化活性成分研究进展[J]. 世界科学技术(中医药现代化),2013,15(3):551-554.
- [5] 羊波,应茵,陈苓丽,等. 黄酮类化合物抗炎作用机制研究进展[J]. 中国药师,2016,19(7):1369-1373.
- [6] 董兰岚,吕娟,何元,等. 黄桷树叶中总黄酮的乙醇超声提取工艺研究[J]. 应用化工,2017,46(11):2188-2190.
- [7] 汪洋,胡魁,陈玲,等. 黄桷树叶总黄酮提取物对 A549 细胞的保护作用研究[J]. 重庆医学,2017,46(16):2178-2182.
- [8] 王小红,曹阳,吴阳,等. 大叶榕有效成分提取工艺研究[J]. 化学研究与应用,2010,22(12):1486-1491.
- [9] 丁嘉信,李万忠,李慧芬,等. 银杏叶提取物总黄酮紫外分光光度法含量测定的适应性研究[J]. 食品与药品,2012,14(4):260-263.
- [10] ORIHUELA R, MCPHERSON C A, HARRY G J. Microglial M1/M2 polarization and metabolic states[J]. *Br J Pharmacol*, 2016, 173(4):649-665.
- [11] 骆党委,叶静,黄雅燕,等. AB-8 大孔吸附树脂精制芦柑皮总黄酮及黄酮类化合物的分离[J]. 食品科学,2014,35(6):30-35.
- [12] 陈胜发,刘彦超,龙凤来. 榕属植物化学成分研究进展[J]. 杨凌职业技术学院学报,2010,9(3):13-17.
- [13] PERRY V H, HOLMES C. Microglial priming in neurodegenerative disease[J]. *Nat Rev Neurol*, 2014, 10(4):217-224.
- [14] XU L, HE D, BAI Y. Microglia-mediated inflammation and neurodegenerative disease[J]. *Mol Neurobiol*, 2016, 53(10):6709-6715.

(收稿日期:2018-08-23 修回日期:2018-11-13)